

Zeitschrift: Eclogae Geologicae Helvetiae
Herausgeber: Schweizerische Geologische Gesellschaft
Band: 62 (1969)
Heft: 1

Artikel: Les calcaires urgoniens dans la région entourant Genève
Autor: Conrad, Marc A.
Anhang: Planches
Autor: [s.n.]
DOI: <https://doi.org/10.5169/seals-163689>

Nutzungsbedingungen

Die ETH-Bibliothek ist die Anbieterin der digitalisierten Zeitschriften auf E-Periodica. Sie besitzt keine Urheberrechte an den Zeitschriften und ist nicht verantwortlich für deren Inhalte. Die Rechte liegen in der Regel bei den Herausgebern beziehungsweise den externen Rechteinhabern. Das Veröffentlichen von Bildern in Print- und Online-Publikationen sowie auf Social Media-Kanälen oder Webseiten ist nur mit vorheriger Genehmigung der Rechteinhaber erlaubt. [Mehr erfahren](#)

Conditions d'utilisation

L'ETH Library est le fournisseur des revues numérisées. Elle ne détient aucun droit d'auteur sur les revues et n'est pas responsable de leur contenu. En règle générale, les droits sont détenus par les éditeurs ou les détenteurs de droits externes. La reproduction d'images dans des publications imprimées ou en ligne ainsi que sur des canaux de médias sociaux ou des sites web n'est autorisée qu'avec l'accord préalable des détenteurs des droits. [En savoir plus](#)

Terms of use

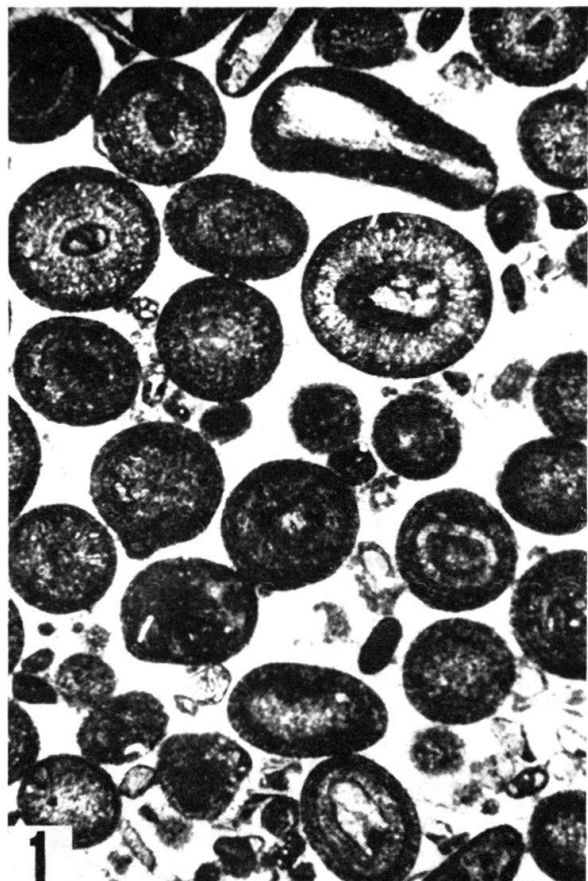
The ETH Library is the provider of the digitised journals. It does not own any copyrights to the journals and is not responsible for their content. The rights usually lie with the publishers or the external rights holders. Publishing images in print and online publications, as well as on social media channels or websites, is only permitted with the prior consent of the rights holders. [Find out more](#)

Download PDF: 31.01.2026

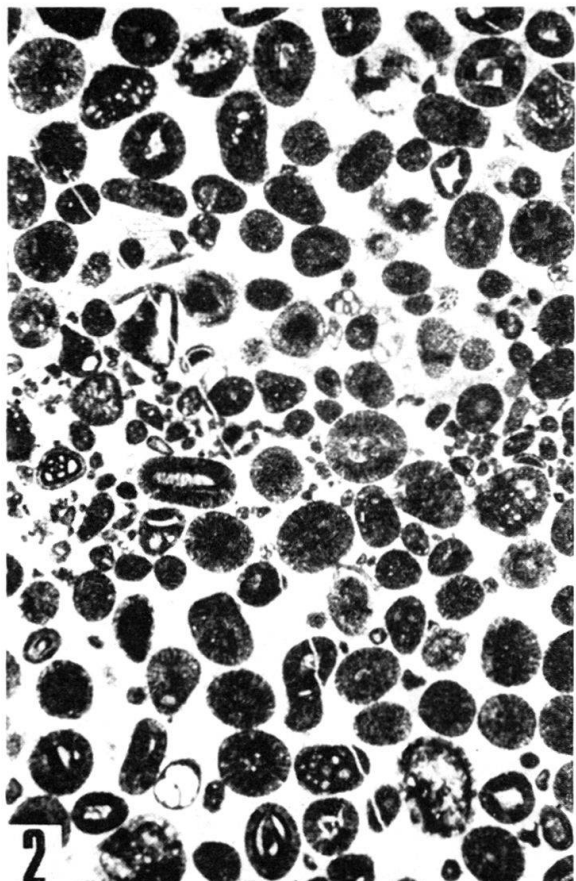
ETH-Bibliothek Zürich, E-Periodica, <https://www.e-periodica.ch>

Planche I

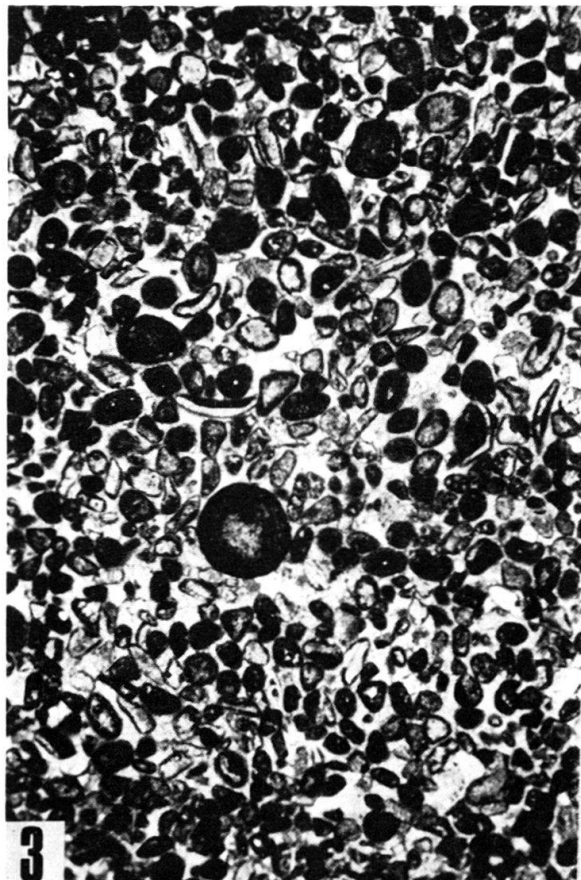
- Fig. 1 Microfacies no. 1 (texte p. 34). Oösparite. Milieu infralittoral externe. Ech. 298, coupe du Rocher-des-Hirondelles. Base des Calcaires urgoniens inférieurs, Barrémien inférieur. 24 ×.
- Fig. 2 Microfacies no. 2 (texte p. 35). Oösparite. Milieu infralittoral moyen. Ech. 56, affleurements de Chez Fumex. Marnes à Orbitolines, Bédoulien inférieur. 22 ×.
- Fig. 3 Microfacies no. 3 (texte p. 35). Biosparite à fraction oolithique. Milieu circalittoral supérieur. Ech. 70. 70, coupe du Mont de Musiège. Marnes de la Russille, limite Hauterivien – Barrémien. 22 ×.
- Fig. 4 Microfacies no. 4 (texte p. 36). Biosparite à Encrines et débris phosphatés. Milieu circalittoral supérieur. Ech. 599, affleurement de Cruseilles. Lumachelle du Gault, Bédoulien supérieur ? 20 ×.



1



2



3



4

Planche II

- Fig. 1 Microfacies no. 5 (texte p. 36). Biosparite à grains usés. Milieu circalittoral à infralittoral, talus de raccord. Ech. CHAROLLAIS 1640, flanc N de l'anticlinal de la Pointe d'Andey, Hte-Savoie. Calcaires urgoniens inférieurs, Barrémien inférieur. 24 ×.
- Fig. 2 Microfacies no. 6 (texte p. 37). Biosparite à Dasycladacées, Bryozoaires et Foraminifères. Milieu infralittoral externe. Ech. 320, lame 1, coupe du Rocher-des-Hirondelles. Calcaires urgoniens inférieurs, Barrémien inférieur. 3,3 ×. Négatif.
- Fig. 3 Microfacies no. 7 (texte p. 37). Passée gréseuse dans une biosparite à Foraminifères. Milieu infralittoral moyen. Ech. 426, col du Perthuis près de Dingy-St-Clair, Hte-Savoie. Calcaires urgoniens supérieurs, Bédoulien. 5 ×. Négatif.
- Fig. 4 Microfacies no. 8 (texte p. 37). Biosparite mal délavée passant à une biomicrite. Milieu infralittoral moyen. Ech. 12, coupe du pas du Roc/Champlaitier. Calcaires urgoniens inférieurs, Barrémien moyen ou supérieur. 26 ×.

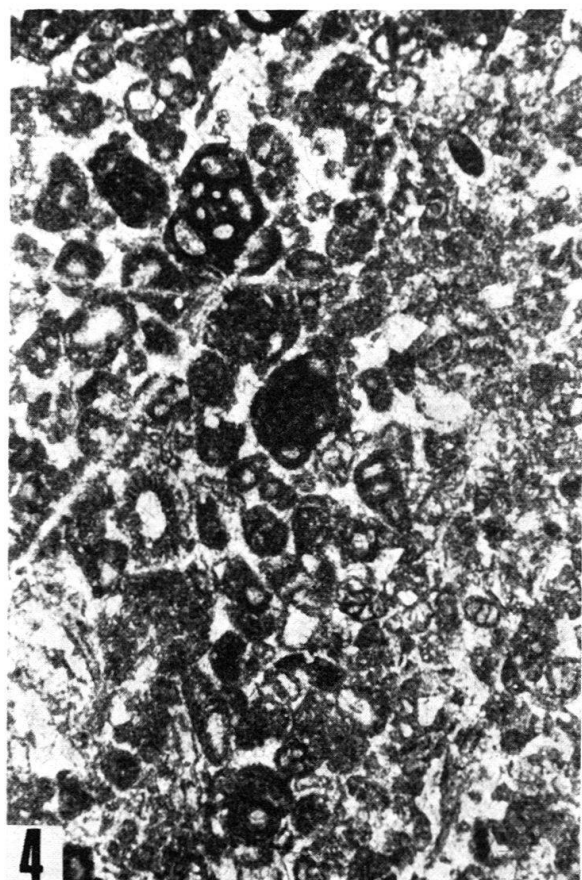
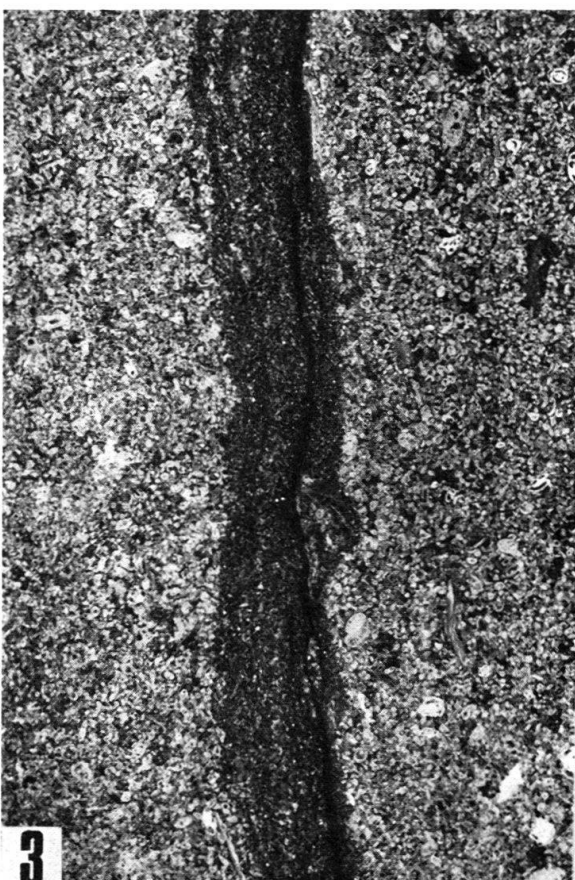
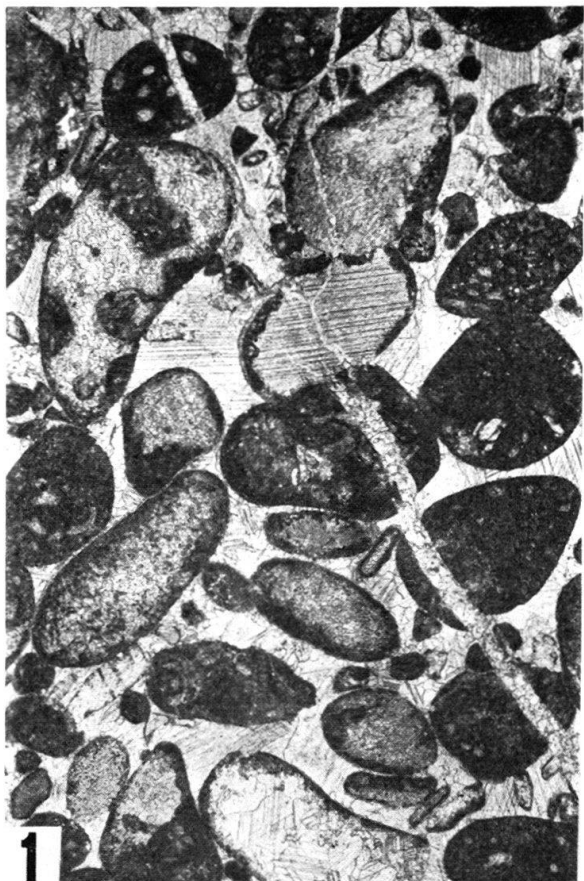
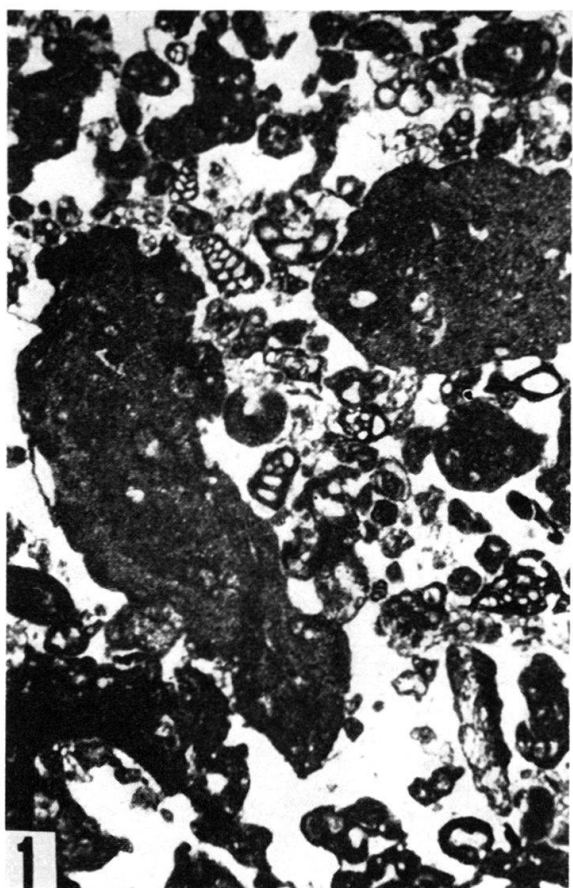


Planche III

- Fig. 1** Microfacies no. 9 (texte p. 38). Intrabiosparite. Milieu infralittoral moyen. Ech. 634, coupe de la Perte de la Valserine. Calcaires urgoniens inférieurs, Barrémien inférieur. 20 ×.
- Fig. 2** Microfacies no. 10 (texte p. 38). Biomicrudite à Bryozoaires et *Lenticulina* sp. Milieu circalittoral supérieur. Ech. 66, coupe du Mont de Musiège. Marnes de La Russille, limite Hauterivien-Barrémien. 25 ×.
- Fig. 3** Microfacies no. 11 (texte p. 38). Coquinite (biomicrudite) à débris de Rudistes. Milieu médiolittoral. Ech. 907, lame a, coupe de la carrière de Thônes. Calcaires urgoniens inférieurs, Barrémien supérieur. 25 ×.
- Fig. 4** Microfacies no. 12 (texte p. 38). Biomicrite à nodules d'Algues encroûtantes: *Lithocodium aggregatum* Elliott, *Bacinella irregularis* Radoicic, etc. Milieu infralittoral externe. Ech. 108, lame 1, coupe du Val de Fier. Calcaires urgoniens inférieurs, Barrémien inférieur. 4,8 ×. Négatif.



1



2



3



4

Planche IV

- Fig.1 Microfacies no. 13 (texte p. 39). Biolithite à Algues encroûtantes: *Lithocodium aggregatum* Elliot, etc. Milieu infralittoral externe. Ech. 84, lame 1, coupe du Mont de Musiège. Calcaires urgoniens inférieurs, Barrémien inférieur. 4,6 \times . Négatif.
- Fig.2 Microfacies no. 14 (texte p. 39). Biomicrite à Polypiers, Spongiaires et Bryozoaires encroûtants. Milieu infralittoral externe. Ech. 464, coupe du Gd.-Piton. Calcaires urgoniens inférieurs, Barrémien inférieur. 22 \times .
- Fig.3 Microfacies no. 15 (texte p. 40). Oömicrite à colloclastes, Bryozoaires rameux et *Nautiloculina* sp. 1. Milieu infralittoral externe. Ech. 301, coupe du Rocher-des-Hirondelles. Calcaires urgoniens inférieurs, Barrémien inférieur. 27 \times .
- Fig.4 Microfacies no. 16 (texte p. 40). Biomicrite à fraction oolithique. Milieu infralittoral moyen. Ech. 765, coupe de Chez-le-Tournier. Marnes à Orbitolines, Bédoulien inférieur. 23 \times .

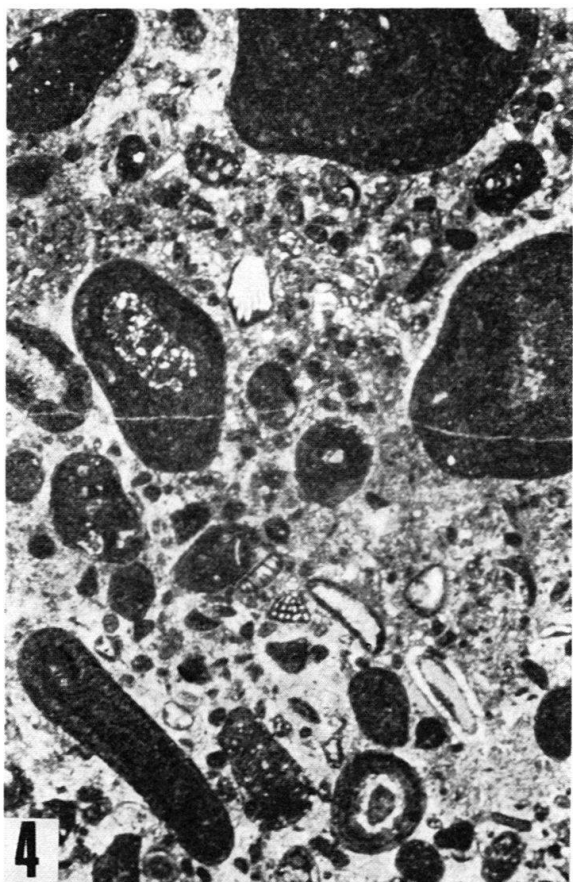
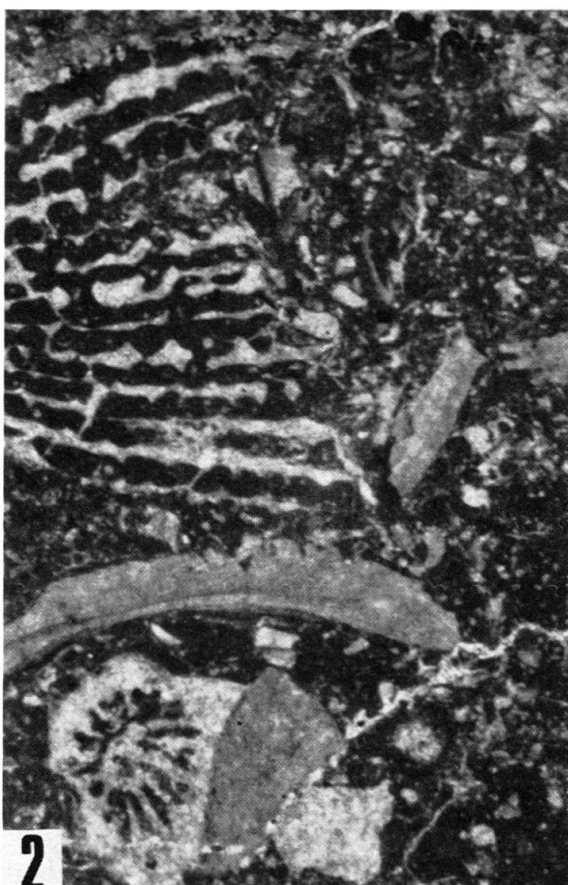
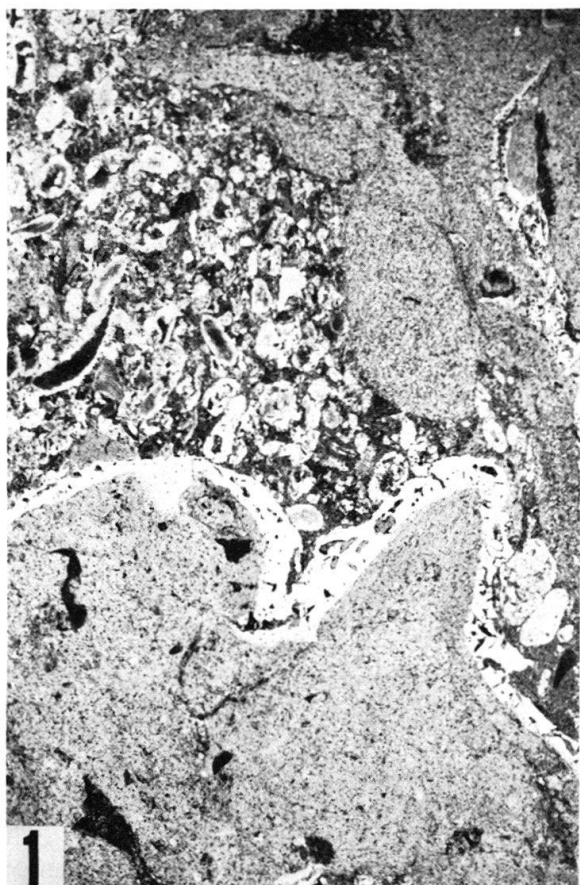


Planche V

- Fig. 1 Microfacies no. 17 (texte p. 40). Biopelmicrite. Milieu circalittoral inférieur. Ech. 43, coupe du Pas du Roc/Champlaitier. Base des Calcaires urgoniens inférieurs. Barrémien inférieur. 22 ×.
- Fig. 2 Microfacies no. 18 (texte p. 41). Biomicrite avec *Eopalorbitolina charollaisi* Schroeder & Conrad et *Trocholina cf. friburgensis* Guillaume & Reichel. Milieu infralittoral moyen. Ech. 637, coupe de Génissiat. Calcaires urgoniens inférieurs, Barrémien supérieur. 22 ×.
- Fig. 3 Microfacies no. 19 (texte p. 41). Biomicrite avec *Palorbitolina lenticularis* (Blumenbach). Milieu infralittoral moyen. Ech. 690, coupe du Parmelan. Sommet des Marnes à Orbitolines, Bédoulien. 26 ×.
- Fig. 4 Microfacies no. 20 (texte p. 42). Biomicrite à Foraminifères et Dasycladacées avec *Paleodictyoconus barremianus* (Moullade) et «*Pfenderina*» sp. 1. Milieu infralittoral interne et abrité. Ech. 410, lame 1, coupe du Rocher-des-Hirondelles. Calcaires urgoniens inférieurs, Barrémien moyen ou supérieur. 27 ×.

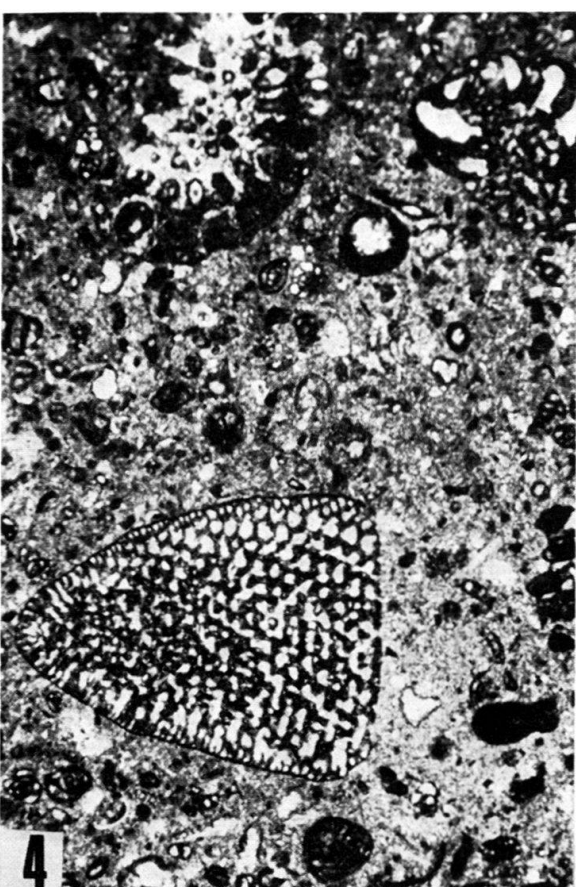
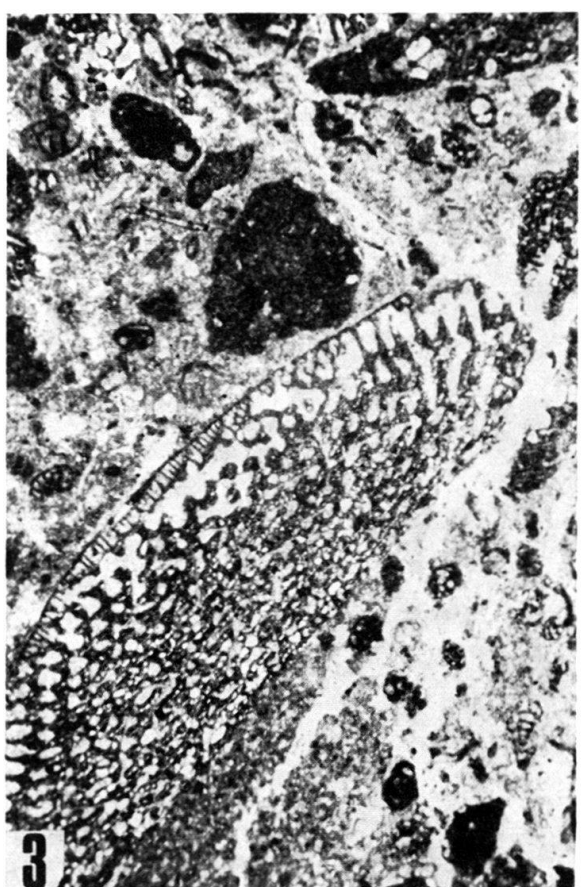
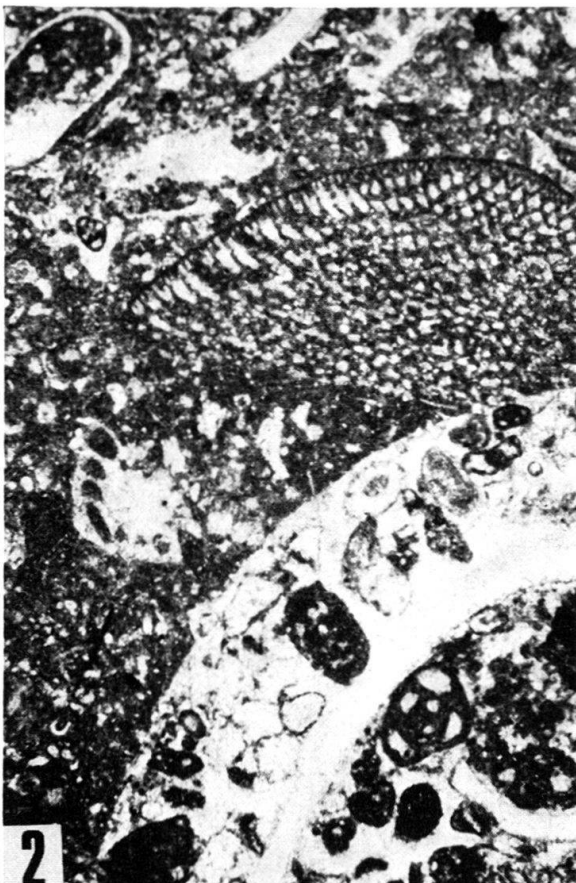
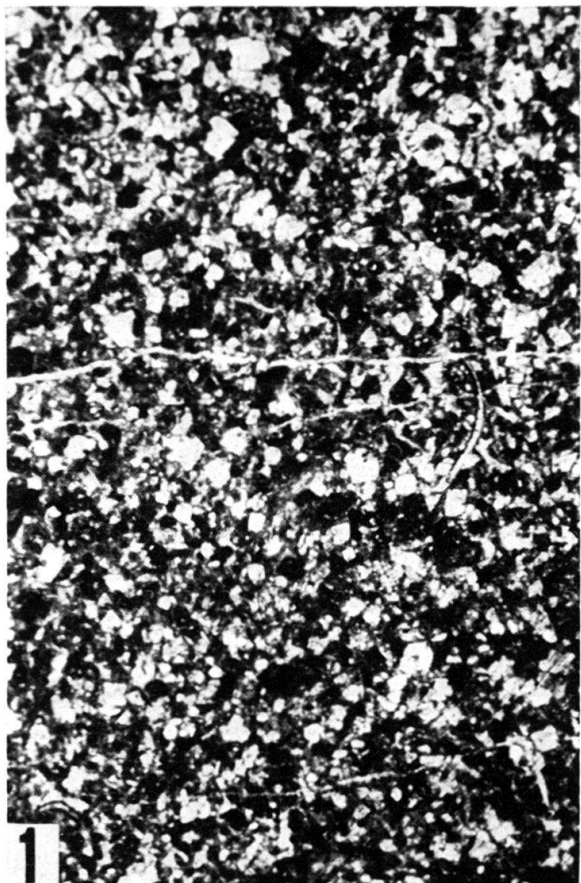


Planche VI

- Fig. 1 Microfacies no. 21 (texte p. 42). Biomicrite à Foraminifères. En haut: *Paracoskinolina sunnilandensis sunnilandensis* (Maync). A gauche: *Eopalorbitolina charollaisi* Schroeder & Conrad. A droite: *Valserina brönnimanni brönnimanni* Schroeder & Conrad, ind. juv. Milieu infralittoral interne et abrité. Ech. 862, coupe du Rocher-des-Hirondelles. Calcaires marneux de La Rivière, Barrémien supérieur. 26 ×.
- Fig. 2 Microfacies no. 22 (texte p. 42). Dismicrite à «birds-eyes», etc. Milieu infralittoral interne et confiné, peut-être médiolittoral. Ech. 161, coupe du Val de Fier. Calcaires urgoniens inférieurs. Barrémien supérieur. 13 ×.
- Fig. 3 Microfacies no. 23 (texte p. 43). Micrite à biophase extrêmement réduite. Milieu infralittoral interne et confiné. Ech. 867, coupe du Rocher-des-Hirondelles. Calcaires marneux de La Rivière, Barrémien supérieur. 25 ×.
- Fig. 4 Microfacies no. 24 (texte p. 43). Biomicrite à *Clavator* sp. et Ostracodes. Milieu lacustre ou saumâtre. Ech. 811, lame 1, coupe de Leschaux. Base des Marnes à Orbitolines, limite Barrémien-Aptien. 22 ×.

